

眼眶肿瘤及瘤样病变患者 699 例的临床组织病理学构成分析

赵云,于莎莎,林锦镛,赵红

引用:赵云,于莎莎,林锦镛,等.眼眶肿瘤及瘤样病变患者 699 例的临床组织病理学构成分析.国际眼科杂志 2023; 23(4): 694-699

基金项目:天津市眼科医院科技基金青年项目(No.YKQN2004);天津市医学重点学科(专科)建设项目(No.TJYXZDXK-016A)
作者单位:(300020)中国天津市眼科医院 眼科学与视觉科学重点实验室 南开大学附属眼科医院 天津医科大学眼科临床学院
作者简介:赵云,毕业于天津医科大学,硕士,主治医师,研究方向:眼眶病、眼整形、泪道疾病。

通讯作者:赵红,毕业于天津医科大学,博士,教授,主任医师,研究方向:眼眶病、眼整形、泪道疾病. zhaohongeye@163.com

收稿日期:2022-06-16 修回日期:2023-03-16

摘要

目的:分析眼眶肿瘤及瘤样病变的临床组织病理学构成情况。

方法:回顾性系列病例研究。连续收集 2010-01/2020-12 天津市眼科医院眼眶病眼整形科收治的眼眶肿瘤及瘤样病变患者 699 例 707 眼的临床组织病理学资料,参考美国癌症联合会第 8 版眼肿瘤分期标准和 WHO2018 版眼部肿瘤分类标准,将诊断结果分为良性、交界性及恶性三类。将全部患者按照年龄划分为 0~17、18~39、40~59 和 60 岁及以上共 4 组。对各组组织病理学诊断构成情况进行分析。

结果:纳入 699 例患者 707 眼中男 311 例 316 眼,女 388 例 391 眼。就诊年龄为 1~84(平均 39.9±2.2)岁。右侧眼眶 307 例,左侧眼眶 384 例,双侧 8 例。良性肿瘤及瘤样病变 598 例 604 眼(85.6%),交界性肿瘤 7 例 7 眼(1.0%),恶性肿瘤 94 例 96 眼(13.4%)。在良性肿瘤及瘤样病变中,位于前 5 位的依次为海绵状血管瘤(110 例,15.7%),皮样囊肿(96 例,13.7%),多形性腺瘤(54 例,7.7%),炎性假瘤(38 例,5.4%),神经鞘瘤(29 例,4.1%);交界性及恶性肿瘤中,位于前 5 位的依次为非霍奇金淋巴瘤(42 例,41.6%),孤立性纤维性肿瘤(12 例,11.9%),腺样囊性癌(11 例,10.9%),转移癌(9 例,8.9%),横纹肌肉瘤(8 例,7.9%)。在常见的眼眶良性肿瘤及瘤样病变中,海绵状血管瘤和多形性腺瘤中女性患者明显多于男性。在常见的眼眶交界性和恶性肿瘤中,非霍奇金淋巴瘤和间叶性软骨肉瘤中男性患者多于女性。0~17 岁患者中最常见的良、恶性肿瘤分别是皮样囊肿和横纹肌肉瘤,18~39 岁中最常见的良、恶性肿瘤分别为皮样囊肿和孤立性纤维性肿瘤,40~59 岁中最常见的良、恶性肿瘤分别为海绵状血管瘤和非霍奇金淋巴瘤,60 岁以上最常见的良、恶性肿瘤分别为海绵状血管瘤和非霍奇金淋巴瘤。

结论:眼眶肿瘤及瘤样病变中多数为良性。其中良性肿物

以海绵状血管瘤和皮样囊肿多见。恶性肿瘤以非霍奇金淋巴瘤多见。

关键词:眼眶病;眼部肿瘤;组织病理学;疾病谱

DOI:10.3980/j.issn.1672-5123.2023.4.32

Analysis of clinical histopathological composition of 699 cases with orbital tumors and tumor-like lesions

Yun Zhao, Sha-Sha Yu, Jin-Yong Lin, Hong Zhao

Foundation items: Science and Technology Youth Project of Tianjin Eye Hospital (No. YKQN2004); Key Medical Discipline (Specialty) Construction Project of Tianjin (No. TJYXZDXK-016A)

Tianjin Key Lab of Ophthalmology and Visual Science, Tianjin Eye Hospital; Nankai University Affiliated Eye Hospital; Clinical College of Ophthalmology, Tianjin Medical University, Tianjin 300020, China

Correspondence to: Hong Zhao. Tianjin Key Lab of Ophthalmology and Visual Science, Tianjin Eye Hospital; Nankai University Affiliated Eye Hospital; Clinical College of Ophthalmology, Tianjin Medical University, Tianjin 300020, China. zhaohongeye@163.com
Received:2022-06-16 Accepted:2023-03-16

Abstract

• **AIM:** To analyze the clinical and histopathological composition of orbital tumors and tumor-like lesions.

• **METHODS:** Retrospective case-series study. The clinical histopathological data of 699 cases (707 eyes) with orbital tumor and tumor-like lesions who treated in the orbital disease and ophthalmic plastic department of Tianjin Eye Hospital between January 2010 and December 2020 were collected. All the pathology diagnosis results were divided into three categories which were benign tumor, borderline tumor and malignant tumor according to the eighth edition of the American Joint Committee on Cancer staging system and the 2018 World Health Organization Classification of tumors of the eye. All cases were divided into four groups according to age, including 0~17 years old, 18~39 years old, 40~59 years old, 60 years and above. The histological composition of each group was analyzed.

• **RESULTS:** Among the 699 cases (707 eyes), 311 patients (316 eyes) were male and 388 patients (391 eyes) were female. The patient's age at diagnosis ranged from 1 to 84 years (mean 39.9±2.2) years. The right orbit was involved in 307 patients, the left orbit in 384 patients, and

8 patients in bilateral orbit. There were 598 patients (604 eyes, 85.6%) with benign tumor and tumor-like lesions, 7 patients (7 eyes, 1.0%) with borderline tumor, and 94 patients (96 eyes, 13.4%) with malignant tumors. The top 5 benign tumor and tumor-like lesions were cavernous hemangioma (110 cases, 15.7%), dermoid cysts (96 cases, 13.7%), pleomorphic adenomas (54 cases, 7.7%), inflammatory pseudotumors (38 cases, 5.4%), and schwannomas (29 cases, 4.1%) respectively. The top 5 borderline and malignant tumors were non-Hodgkin lymphomas (42 cases, 41.6%), solitary fibrous tumors (12 cases, 11.9%), adenoid cystic carcinomas (11 cases, 10.9%), metastatic tumor (9 cases, 8.9%), and rhabdomyosarcoma (8 cases, 7.9%), respectively. Among the common orbital benign tumors and tumor-like lesions, cavernous hemangioma and pleomorphic adenoma showed a female predominance. Among the common borderline and malignant tumors, non-Hodgkin lymphoma and mesenchymal chondrosarcoma showed a male predominance. The most common benign and malignant tumors were dermoid cysts, rhabdomyosarcomas respectively in group under 18 years old. And dermoid cysts and solitary fibrous tumors were the most common benign and malignant tumors respectively in patients between 18 and 39 years old. Cavernous hemangioma and non-Hodgkin lymphomas were the most common benign and malignant tumors respectively in patients between 40 and 59 years old. While cavernous hemangioma and non-Hodgkin lymphomas were the most common benign and malignant tumors respectively in cases over 60 years old.

• **CONCLUSION:** Most orbital tumors and tumor-like lesions are benign. The most common benign orbital tumor is cavernous hemangioma, followed by dermoid cyst. Non-Hodgkin lymphoma is the most common malignant orbital tumor.

• **KEYWORDS:** orbital disease; ocular tumor; histopathology; disease spectrum

Citation: Zhao Y, Yu SS, Lin JY, et al. Analysis of clinical histopathological composition of 699 cases with orbital tumors and tumor-like lesions. *Guoji Yanke Zazhi (Int Eye Sci)* 2023;23(4): 694-699

0 引言

眼眶及其内容物组织来源复杂,可来源于表皮外胚层、中胚层及神经外胚层等三个胚层组织^[1]。因此发生于眼眶部位的肿瘤及瘤样病变种类繁多,组织病理学分类复杂,不同文献报道中的分类方法也不尽相同^[2-3]。根据美国癌症协会的统计数据,眼眶肿瘤在人群中的年发病率低于十万分之一^[4]。目前在眼科临床工作中,眼眶肿瘤及瘤样病变相对少见,多数眼科医师对其认识不足。而眼眶肿瘤不仅影响视力和外观,部分恶性肿瘤甚至可能出现远处转移危及生命,因此临床中我们应该给予足够的重视。既往文献中的我国大样本量眼眶肿瘤及瘤样病变的组织病理学分析报道少见^[5],且近年来随着生活环境和诊断技术的发展,该类肿瘤的疾病谱也发生了新变化。为总结我国北方地区大样本量眼眶肿瘤及瘤样病变组织病理学分

类情况,为临床工作提供参考,本研究对天津市眼科医院眼眶病眼整形科自2010-01/2020-12诊治并存档的699例眼眶肿瘤及瘤样病变患者临床和病理学资料进行回顾性分析。

1 对象和方法

1.1 对象 回顾性系列病例研究。收集2010-01/2020-12在天津市眼科医院眼眶病眼整形科存档记录的710例眼眶肿瘤及瘤样病变患者临床病理组织学资料。对其中11例病理诊断不能确定或诊断为正常组织者排除在外。最终共获得具有完整资料的患者699例,其中674例患者经住院后行手术治疗,组织病理学检查后确定诊断。对原诊断不清的肿瘤及瘤样病变均经高年资病理医师复查确诊,部分病理切片经多家病理医师会诊得出诊断。其中25例患者经临床和影像学检查确定诊断,并经多名高年资眼肿瘤医师反复核对确定。所有患者均被告知检查目的,并获得患者或其监护人同意,签署知情同意书。本研究符合《赫尔辛基宣言》,并通过天津市眼科医院伦理委员会审查(No.2022024)。

1.2 方法 纳入674例患者的眼眶肿瘤及瘤样病变经手术完整切除,手术标本均固定于10%甲醛溶液中,常规石蜡包埋,切片,HE染色,部分标本行特殊染色或免疫组织化学染色,光镜下进行组织病理学观察。组织病理学诊断分类参考美国癌症联合会第8版眼肿瘤分期标准和WHO2018版眼部肿瘤分类标准。因考虑到病变部位和病理特点的特殊性,我们将泪腺肿瘤和泪囊肿瘤单独分类。25例经临床和影像学诊断的患者进行了完整的眼部和全身病史采集,详细的临床检查,影像学检查包括超声、CT和MRI。

统计学分析:采用SPSS 22.0统计学软件分析。计数资料比较采用 χ^2 检验,以 $P<0.05$ 为差异有统计学意义。

2 结果

2.1 纳入患者一般资料 本组病例共收集699例眼眶肿瘤及瘤样病变患者的临床和病理资料。其中男311例316眼,女388例391眼,男:女=1:1.2。就诊年龄为1~84(平均 39.9 ± 2.2)岁。右侧眼眶307例,左侧眼眶384例,双侧8例。良性肿瘤及瘤样病变598例604眼(85.6%),交界性肿瘤7例7眼(1.0%),恶性肿瘤94例96眼(13.4%)。本研究699例眼眶肿瘤及瘤样病变根据组织病理学分类,位于前5位的分别是血管淋巴管性肿瘤(183例,26.2%),眼眶囊肿(122例,17.5%),泪腺肿瘤(83例,11.9%),眼眶炎性病变(79例,11.3%)和淋巴造血系统肿瘤(73例,10.4%)。本研究眼眶肿瘤及瘤样病变患者的年龄、性别、眼别和组织病理学构成情况见表1。

2.2 各类眼眶常见良性肿瘤及瘤样病变的组织病理学构成和性别比例 良性肿瘤:前5位依次为海绵状血管瘤(110例,15.7%),见图1,皮样囊肿(96例,13.7%),见图2,多形性腺瘤(54例,7.7%),炎性假瘤(38例,5.4%),神经鞘瘤(29例,4.1%)。其次为毛细血管瘤(24例3.4%),黏液囊肿(21例,3.0%),淋巴组织增生(18例,2.6%),血囊肿(14例,2.0%),见表2。在常见的眼眶良性肿瘤及瘤样病变中,海绵状血管瘤的男女比为1:2.9($P<0.05$),多形性腺瘤的男女比为1:1.5($P<0.05$),这两种肿瘤中女性患者明显多于男性。

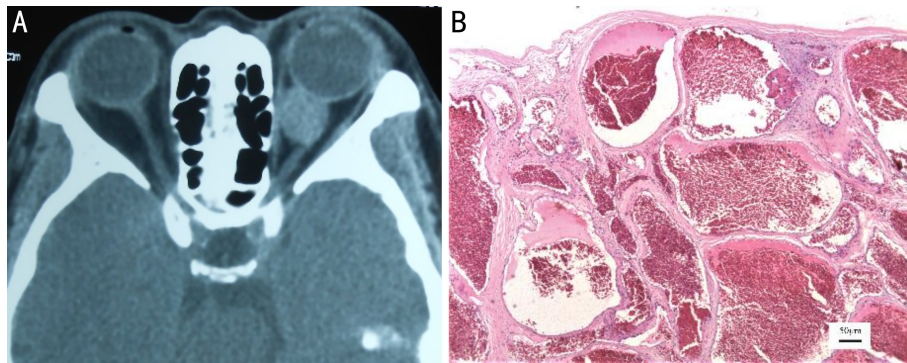


图1 眼眶海绵状血管瘤 A:CT显示左眼眶肌锥内眼球后可见一类圆形肿物;B:镜下见肿瘤表面有纤维性包膜,大血管腔内可见血栓机化,血管间质中有类脂性巨噬细胞。

表1 纳入患者一般资料

分类	例数(%)	平均年龄($\bar{x}\pm s$,岁)	男/女(例)	右眼/左眼/双眼(例)
先天发育异常	9(1.3)	6.1±0.9(1~21)	6/3	4/4/1
眼眶炎性病变	79(11.3)	45.1±2.1(19~71)	31/48	30/47/2
眼眶囊肿	122(17.5)	32.2±1.1(1~82)	68/54	58/64/0
血管淋巴管性肿瘤	183(26.2)	39.4±3.1(1~80)	59/124	73/110/0
肌源性肿瘤	9(1.3)	32.4±0.8(4~75)	4/5	3/6/0
纤维、脂肪、骨、软骨和间叶肿瘤	15(2.1)	31.2±1.7(9~55)	6/9	5/8/2
神经源性肿瘤	66(9.4)	36.6±2.7(1~72)	31/35	34/32/0
泪腺肿瘤	83(11.9)	42.6±4.1(14~73)	34/49	33/50/0
泪囊肿瘤	22(3.1)	46.0±2.1(18~78)	8/14	12/9/1
继发性肿瘤	13(1.9)	59.4±1.7(9~80)	5/8	6/7/0
转移性肿瘤	9(1.3)	66.5±1.3(48~84)	4/5	5/4/0
淋巴造血系统肿瘤	73(10.4)	55.4±3.9(7~79)	44/29	36/35/2
血管畸形	11(1.6)	43.6±2.1(19~68)	7/4	5/6/0
其他	5(0.7)	45.6±1.1(3~75)	4/1	3/2/0
合计	699(100)	39.9±2.2(1~84)	311/388	307/384/8

表2 各类眼眶常见良性肿瘤及瘤样病变患者的平均年龄及性别分布

病变种类	例数	百分比(%)	平均年龄($\bar{x}\pm s$,岁)	中位数年龄(岁)	男/女(例)
海绵状血管瘤	110	15.7	46.4±4.1	45	28/82
皮样囊肿	96	13.7	19.5±3.2	18	56/40
多形性腺瘤	54	7.7	41.6±2.8	42	22/32
炎性假瘤	38	5.4	47.2±1.9	46	24/14
神经鞘瘤	29	4.1	40.7±2.2	41	14/15
毛细血管瘤	24	3.4	9.2±1.8	10	13/11
黏液囊肿	21	3.0	53.6±2.3	52	12/9
淋巴细胞非典型增生	18	2.6	62.4±1.6	64	7/11
血囊肿	14	2.0	36.3±1.2	36	6/8
其他	194	32.4	39.4±4.3	38	81/113
合计	598	100.0	38.2±2.4	37	263/335

2.3 各类眼眶常见交界性及恶性肿瘤的组织病理学构成和性别比例 交界性肿物及恶性肿瘤:前5位依次为非霍奇金淋巴瘤(42例,41.6%),见图3,孤立性纤维性肿瘤(12例,11.9%),腺样囊性癌(11例,10.9%),见图4,转移癌(9例,8.9%),横纹肌肉瘤(8例,7.9%)。其余少见恶性肿瘤包括血管内皮瘤(5例,5.0%),间叶性软骨肉瘤(3例,3.0%),见表3。在常见的眼眶交界性和恶性肿瘤中,非霍奇金淋巴瘤的男女比为1:0.6($P<0.05$),间叶性

软骨肉瘤的3例均为男性($P<0.05$),在这两种肿瘤中男性患者多于女性。

2.4 良恶性肿瘤年龄分布情况 良性肿瘤及瘤样病变的平均年龄为38.2±2.4岁,交界性及恶性肿瘤的平均年龄为49.9±1.9岁。良性肿瘤及瘤样病变中,小于40岁者253例,40岁及以上者345例,不同年龄组的分布情况见表4;交界性及恶性肿瘤中,小于40岁者20例,40岁及以上者81例。

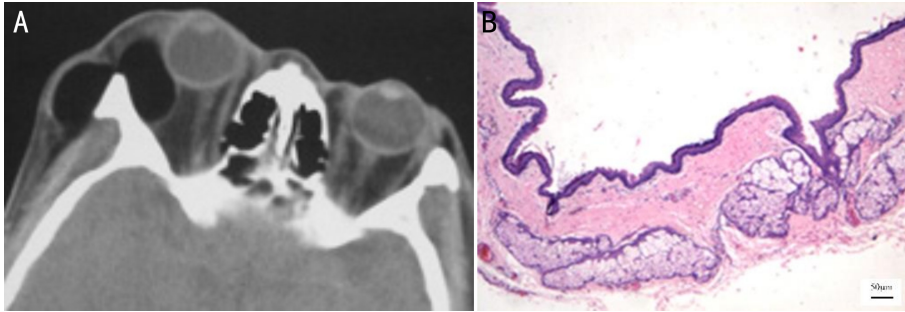


图2 眼眶皮样囊肿 A:CT显示右眼眶内低密度囊性肿物与颞窝低密度肿物沟通,呈哑铃状;B:镜下见囊肿壁衬有非角化性鳞状上皮细胞,囊肿壁周围有大量皮脂腺。

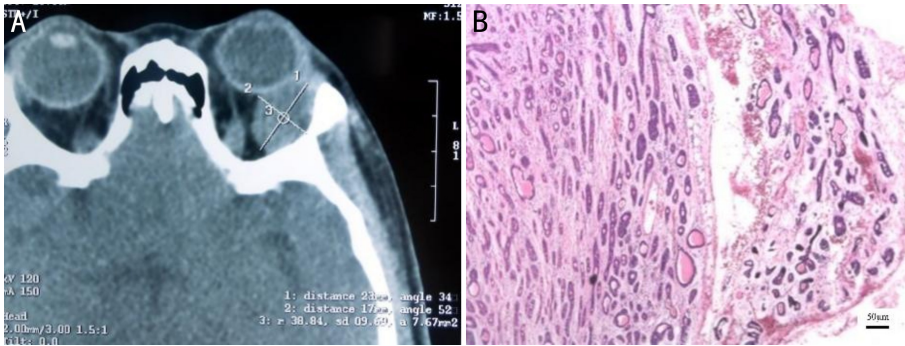


图3 眼眶非霍奇金淋巴瘤 A:CT显示右眼眶泪囊区上方不规则形占位影,贴附于眼球壁和眼眶生长,呈铸造形;B:镜下见肿瘤细胞呈椭圆形,体积较大,呈明显异型性。

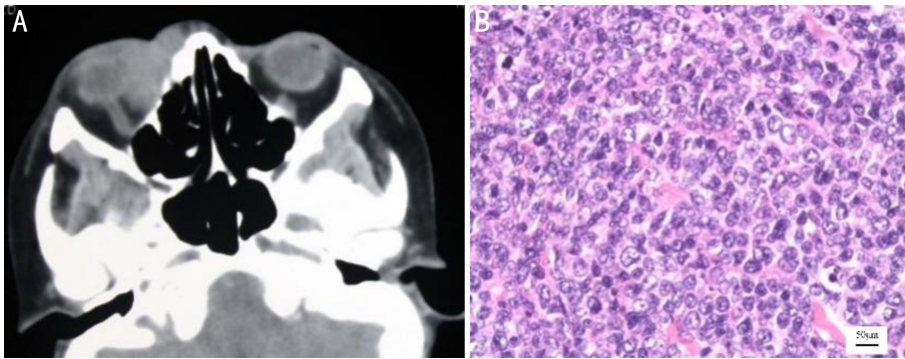


图4 泪腺腺样囊性癌 A:CT显示左眼眶泪腺肿瘤呈长椭圆形,向眶尖蔓延;B:镜下见肿瘤细胞巢内有蜂窝状腔隙,腔内含有淡红色的黏多糖物质,呈浸润性生长。

表3 各类眼眶常见交界性及恶性肿瘤患者的平均年龄及性别分布

病变种类	例数	百分比(%)	平均年龄($\bar{x}\pm s$,岁)	中位数年龄(岁)	男/女(例)
非霍奇金淋巴瘤	42	41.6	59.4±3.1	58	26/16
孤立性纤维性肿瘤	12	11.9	45.3±1.7	44	5/7
腺样囊性癌	11	10.9	40.4±1.5	41	4/7
转移癌	9	8.9	67.2±0.9	66	4/5
横纹肌肉瘤	8	7.9	14.2±1.7	14	3/5
血管内皮瘤	5	5.0	36.4±1.1	37	2/3
间叶性软骨肉瘤	3	3.0	27.3±0.4	26	3/0
其他	11	10.9	52.2±1.5	53	1/10
合计	101	100.0	49.9±1.9	48	48/53

2.5 不同年龄组眼眶良性肿瘤及瘤样病变的发病情况

将所有患者按照年龄划分为0~17、18~39、40~59和60岁及以上共4组,对常见肿瘤及瘤样病变类型和各年龄段患者的组织病理学特点进行分析。良性肿瘤及瘤样病变:0~17岁者110例(15.8%),前3位依次为皮样囊肿、毛细血管瘤、黏液囊肿;18~39岁者143例(23.9%),前3位依

次为皮样囊肿、海绵状血管瘤、多形性腺瘤;40~59岁者204例(34.1%),前3位依次为海绵状血管瘤、多形性腺瘤、炎性假瘤;60岁及以上者141例(23.6%),前3位依次为海绵状血管瘤、炎性假瘤、多形性腺瘤,见表4。

2.6 不同年龄组眼眶恶性肿瘤的发病情况

交界性及恶性肿瘤:0~17岁者9例(8.9%),前3位依次为横纹肌肉

表4 各类眼眶常见良性肿瘤及瘤样病变在不同年龄组的分布情况

病变种类	例数	0~17岁		18~39岁		40~59岁		60岁及以上	
		例数	百分比(%)	例数	百分比(%)	例数	百分比(%)	例数	百分比(%)
海绵状血管瘤	110	0	0	22	15.4	52	25.5	36	25.5
皮样囊肿	96	62	56.4	24	16.8	8	3.9	2	1.4
多形性腺瘤	54	1	0.9	15	10.5	28	13.7	10	7.1
炎性假瘤	38	0	0	7	4.9	15	7.4	16	11.3
神经鞘瘤	29	3	2.7	11	7.7	7	3.4	8	5.7
毛细血管瘤	24	19	17.3	4	2.8	1	0.5	0	0
黏液囊肿	21	4	3.6	8	5.6	6	2.9	3	2.1
淋巴细胞非典型增生	18	0	0	3	2.1	10	4.9	5	3.5
血囊肿	14	2	1.8	6	4.2	6	2.9	0	0
其他	194	19	17.3	43	30.1	71	34.8	61	43.3
合计	598	110	100.0	143	100.0	204	100.0	141	100.0

瘤、非霍奇金淋巴瘤、孤立性纤维性肿瘤;18~39岁者11例(10.9%),前3位依次为孤立性纤维性肿瘤、血管内皮瘤、间叶性软组织肉瘤;40~59岁者39例(38.6%),前3位依次为非霍奇金淋巴瘤、腺样囊性癌、孤立性纤维性肿瘤;60岁及以上者41例(40.6%),前3位依次为非霍奇金淋巴瘤、转移癌、腺样囊性癌,见表5。

3 讨论

3.1 眼眶肿瘤及瘤样病变的特点和疾病谱变化 眼眶肿瘤及瘤样病变的组织病理学分类复杂。本研究中所包含的组织病理学类型就多达64种。对于眼眶肿瘤及瘤样病变的报道,各国不同地区不同医疗机构的研究结果具有一定差异性。这主要是由于种族、环境和不同医疗机构的诊疗水平差异造成的^[6]。在亚洲特别是我国大样本量的眼眶肿瘤组织病理学资料中,海绵状血管瘤往往占全部眼眶肿瘤和良性眼眶肿瘤中的首位^[7]。但这一结果却在欧美国家同类研究中却并不多见^[8]。随着社会生活的发展,我国人群中不同时期眼眶肿瘤及瘤样病变的组织病理学构成情况也发生了很多变化。随着医疗水平的提高,多数眼眶良性肿瘤得到了及早发现和治疗,这造成恶性肿瘤所占比例相对下降。但我们的研究也发现,近年来眼眶恶性淋巴瘤的占比增加,眼眶恶性复发性肿瘤时有出现,这些问题同样值得关注。

3.2 不同地区眼眶肿瘤及瘤样病变的差异性 本组研究中,良性肿瘤及瘤样病变前5位的依次是海绵状血管瘤、皮样囊肿、多形性腺瘤、炎性假瘤和神经鞘瘤。这与王琳艳(2023年)等^[9]统计的浙江大学医学院附属第二医院和孙宏霞(2005年)等^[10]统计的北京武警总医院的病例情况大致相近,海绵状血管瘤均为第一位。但与这两组病例相比,本组病例中静脉性血管瘤比例较低。这主要是由于我院为眼科专科医院,相较这两家综合医院在诊疗侧重上的不同造成的。我们的统计结果也与王琳艳等^[7]统计的浙江大学医学院第二附属医院的1485例南方地区眼眶肿瘤及瘤样病变的结果相一致。而与2019年日本东京地区医院所报道的结果不同,他们所报道的前5位依次为炎性假瘤、IgG4相关眼眶病、海绵状血管瘤、多形性腺瘤和皮样囊肿或表皮样囊肿^[11]。而美国Wills眼科医院报道的1264例眼眶肿瘤患者中前5位为炎性假瘤、海绵状血管

瘤、淋巴管瘤、脑膜瘤和视神经胶质瘤^[12]。意大利也有报道在2480例眼眶肿瘤患者中前5位依次为皮样囊肿或表皮样囊肿、海绵状血管瘤、黏液囊肿、淋巴管瘤和脑膜瘤^[13]。虽然不同年代、不同地区的研究间资料收集和组组织病理学分类方法可能存在差别,但不难看出欧美人群中海绵状血管瘤的发病情况普遍低于我国人群,其中具体机制尚需进一步研究。

3.3 眼眶良性肿瘤及瘤样病变的特征分析 海绵状血管瘤为本组病例中最常见的良性肿瘤,既往报道该肿瘤多见于40~50岁中年女性患者^[14]。本组病例中海绵状血管瘤患者平均年龄46.4±4.1岁,中位年龄为45岁。女性患者明显多于男性,这一结果与既往研究相符。本组病例中,仅次于海绵状血管瘤第二位常见的眼眶良性肿瘤为皮样囊肿。眼眶皮样囊肿起源于胚胎发育过程中残留在中胚叶的表面外胚叶组织,是最常见的眼眶囊性病变^[15]。在我们曾报道过的504例儿童眼部肿瘤中,皮样囊肿位于儿童眼眶肿瘤的首位^[16]。本组病例中0~17岁组皮样囊肿患者为62例,占全部皮样囊肿患者的56.4%。同时在本组病例18~39岁年龄组中,皮样囊肿占良性肿瘤及瘤样病变的首位。本组中第三位良性眼眶肿瘤为泪腺多形性腺瘤,该肿瘤同时是本组病例中泪腺肿瘤最多见的类型。既往研究报道,泪腺多形性腺瘤多发生于30~50岁的中年女性^[17]。本组泪腺多形性腺瘤平均年龄41.6±2.8岁,这与既往报道相一致。该肿瘤的复发问题值得关注,手术中应特别注意防止肿瘤包膜破裂,完整摘除。有报道复发性泪腺多形性腺瘤可发生恶变,侵蚀骨壁,再次手术治疗困难,往往需要术后辅助放射治疗^[18]。

3.4 眼眶恶性肿瘤的特征分析 本组病例中最常见的眼眶恶性肿瘤是非霍奇金淋巴瘤。眼眶淋巴瘤是近年来眼眶肿瘤研究的热点,国内一些规模较大的医疗单位这类病例不仅不少见,且有逐年增多的趋势^[19]。本组42例眼眶非霍奇金淋巴瘤均为B细胞来源,其中30例为黏膜相关性淋巴组织淋巴瘤,12例为弥漫大B细胞淋巴瘤。在欧美国家中,弥漫大B细胞淋巴瘤为眼眶非霍奇金淋巴瘤的主要亚型,而近年来中国人群中的研究报道以黏膜相关淋巴组织淋巴瘤占多数,这可能与遗传和环境因素差异有关^[20-21]。孤立性纤维性肿瘤位居本组交界性及恶性眼眶

表 5 各类眼眶常见交界性及恶性肿瘤在不同年龄组的分布情况

病变种类	例数	0~17岁		18~39岁		40~59岁		60岁及以上	
		例数	百分比(%)	例数	百分比(%)	例数	百分比(%)	例数	百分比(%)
非霍奇金淋巴瘤	42	1	11.1	0	0	19	47.5	22	53.7
孤立性纤维性肿瘤	12	1	11.1	3	27.3	5	12.5	3	7.3
腺样囊性癌	11	0	0	1	9.1	6	15.0	4	9.8
转移癌	9	0	0	0	0	3	7.5	6	14.6
横纹肌肉瘤	8	7	77.7	1	9.1	0	0	0	0
血管内皮瘤	5	0	0	2	18.2	2	5.0	1	2.4
间叶性软骨肉瘤	3	0	0	2	18.2	1	2.5	0	0
其他	11	0	0	2	18.2	4	10.0	5	12.2
合计	101	9	100.0	11	100.0	40	100.0	41	100.0

肿瘤的第二位,高于既往国内外同类研究,这可能与近年来对这一肿瘤的病理研究和重新认识有关。该肿瘤是一种梭形细胞软组织肿瘤,发生于眼眶者少见。既往研究认为眼眶孤立性纤维性肿瘤属于交界性肿瘤,多数病例经手术切除后不复发,预后较好。通过临床观察认为,在部分肿瘤细胞局部增生活跃,细胞排列不规则,细胞核异型性明显的患者中具有较高的复发倾向^[22]。泪腺腺样囊性癌是本组泪腺肿瘤中最常见的恶性肿瘤病理类型。该肿瘤在日本的同类研究中所占的比例与本研究相近^[11],但在欧美国家的研究中所占比例相对较低^[12-13]。以往研究认为泪腺腺样囊性癌可发生于任何年龄段,以40~60岁多见,有研究者统计认为没有明显性别差异,也有研究者认为该肿瘤女性患者居多^[23]。本组11例泪腺腺样囊性癌患者中女性略多于男性。

综上所述,眼眶肿瘤及瘤样病变病理类型繁多,临床表现各异,有时通过影像学检查仍难以鉴别。部分恶性肿瘤起病迅速,延误治疗不仅影响视力外观甚至可能危及生命。本研究所总结的病例样本量较大,可以反映我国北方地区近十年内的眼眶肿瘤及瘤样病变的发病情况。由于我院是眼科专科医院,且本组病例是以手术治疗为主的患者,可能存在一定偏倚。

参考文献

1 Gaca PJ, Lewandowicz M, Lipczynska - Lewandowska M, et al. Embryonic development of the orbit. *Klin Monbl Augenheilkd* 2022;239(1):19-26
 2 Mombaerts I, Ramberg I, Coupland SE, et al. Diagnosis of orbital mass lesions: clinical, radiological, and pathological recommendations. *Surv Ophthalmol* 2019;64(6):741-756
 3 Bhatt AS, Nandeesh BN, Mhatre R, et al. Gamut of orbital lesions in a tertiary neurocenter - a clinicopathological study of lesions seen over a period of one decade. *Neurol India* 2022;70(3):1069-1076
 4 Poudyal P, Hamal D, Shrestha P. Orbital tumors and tumor like lesions: a hospital based study. *J Nepal Health Res Counc* 2022;20(1):26-32
 5 Li XH, Ying GS, Liu XH, et al. Age distribution of 4526 surgically excised specimens of eye tumors by histopathological examination in China. *Front Biosci (Landmark Ed)* 2022;27(4):132
 6 Shimizu N, Oshitari T, Yotsukura J, et al. Ten-year epidemiological study of ocular and orbital tumors in Chiba University Hospital. *BMC Ophthalmol* 2021;21(1):344
 7 王琳艳,陈丽荣,戴喜哲,等.眼部肿瘤及瘤样病变7910例临床病

理学分析. *中华眼科杂志* 2019;55(11):847-853
 8 Montano N, Lauretti L, D'Alessandris QG, et al. Orbital tumors: report of 70 surgically treated cases. *World Neurosurg* 2018;119:e449-e458
 9 王琳艳,邵安,孟素坤,等.2000至2021年眼眶占位性病损1913例的临床病理学构成分析. *中华眼科杂志* 2023;59(1):20-25
 10 孙宏霞,肖利华,朱惠.997例眼眶占位性病变的组织病理学分类. *眼科* 2005;14(6):369-372
 11 Goto H, Yamakawa N, Komatsu H, et al. Clinico-epidemiological analysis of 1000 cases of orbital tumors. *Jpn J Ophthalmol* 2021;65(5):704-723
 12 Shields JA, Shields CL, Scartozzi R. Survey of 1264 patients with orbital tumors and simulating lesions: the 2002 Montgomery Lecture, part 1. *Ophthalmology* 2004;111(5):997-1008
 13 Bonavolontà G, Strianese D, Grassi P, et al. An analysis of 2,480 space-occupying lesions of the orbit from 1976 to 2011. *Ophthalmic Plast Reconstr Surg* 2013;29(2):79-86
 14 Kim MH, Kim JH, Kim SE, et al. Surgical outcomes of intraconal cavernous venous malformation according to their location in four right-angled sectors. *J Craniofac Surg* 2019;30(6):1700-1705
 15 Pushker N, Meel R, Kumar A, et al. Orbital and periorbital dermoid/epidermoid cyst: a series of 280 cases and a brief review. *Can J Ophthalmol* 2020;55(2):167-171
 16 赵云,赵红,林锦镛,等.儿童眼部肿瘤504例临床病理分析. *中华眼科杂志* 2016;52(10):764-768
 17 Alturkistany W, Althaqib R, Alsulaiman N, et al. Lacrimal gland lesions biopsied in a tertiary eye center in Saudi Arabia: a clinical, radiological, surgical, and histological review. *Clin Ophthalmol* 2022;16:191-200
 18 Zhao JW, Papp AM, Williams MD, et al. Multifocal recurrence of pleomorphic adenoma of the lacrimal gland. *Am J Ophthalmol Case Rep* 2022;27:101600
 19 赵云,赵红,惠靖雯,等.65岁及以上老年人眼部肿瘤784例病理学诊断构成分析. *眼科* 2020;29(1):43-48
 20 Hsu CR, Chen YY, Yao M, et al. Orbital and ocular adnexal lymphoma: a review of epidemiology and prognostic factors in Taiwan. *Eye (Lond)* 2021;35(7):1946-1953
 21 Olsen TG, Holm F, Mikkelsen LH, et al. Orbital lymphoma - an international multicenter retrospective study. *Am J Ophthalmol* 2019;199:44-57
 22 Ren MY, Li J, Wu YX, et al. Clinical characteristics and prognosis of orbital solitary fibrous tumor in patients from a Chinese tertiary eye hospital. *World J Clin Cases* 2022;10(27):9670-9679
 23 Manjandavida FP, Honavar SG, Murthy R, et al. Does multimodal treatment improve eye and life salvage in adenoid cystic carcinoma of the lacrimal gland? *Ophthalmic Plast Reconstr Surg* 2022;38(4):348-354